

2자유도 위너-호프 제어기 설계

조용석*, 민덕기*, 최군호*, 이종성*, 강기원*, 박기현*

*:성균관대학교 전기.전자.컴퓨터 공학부

Design of 2DOF(Degree-Of-Freedom) Wiener-Hopf controllers

Yong-Seok Cho*, Deuk-Gi Min*, Goon-Ho Choi, Jong-Sung Lee*, Ki-Won Kang*, Ki-Heon Park*
School of Electrical & Computer Engineering Sung-Kyun-Kwan Univ.

Abstract - 제어공학에서 흔히 표준 모델이라고 불리는 플랜트 모델은 여러 부시스템이 서로 결합되어있는 복잡한 시스템을 단순화시킨 모델이다. 이 모델은 수학적으로 간략하게 표시된다는 장점 때문에 다변수 시스템의 최적 제어에 많이 쓰이고 있다. 그러나 이 모델은 수학적인 전개에는 편리하지만 물리적으로 판이하게 다른 신호군 즉, 외란 및 측정 잡음과 기준 입력 신호를 하나의 신호군으로 처리하는 약점이 있다. 실제로 이 구조로는 입력 추종 문제를 자유롭게 처리할 수 없는 경우가 있다. 본 연구에서는 이러한 문제를 개선하기 위하여 외란 및 측정 잡음과 기준 입력을 분리하여 처리할 수 있는 2자유도 제어기 구조를 제시하였다. 제어기 형태는 위너-호프 제어기로 주파수 영역에서 다변수 시스템에 대한 최적 설계를 가능하게 한다.

리하여 외란 및 측정 잡음으로 인한 페루프 시스템 내부 안정도를 고려한 제어기와 기준 입력 추종을 위한 제어기를 독립적으로 고려할 수 있는 2자유도 제어기 구조 $[C_v | C_r]$ 를 제시하였다. 또한 제어기 형태는 주파수 영역에서 다변수 시스템에 대한 최적 설계를 가능하게 하는 위너-호프 제어기를 사용하였다(2,4,5,6). 행렬 $G_c(s)$ 는 $G(-s)$ 의 공액 전치(conjugate transpose) 즉, $G_c(s) = G^*(-s)$ 이며 실 유리 행렬에서는 $G_c(s) = G^T(-s)$ 이 된다. 행렬 $G(s)$ 가 $G(s) = G_c(s)$ 일 때 para-Hermitian이라고 불린다. $G(s)$ 의 부분 분수 전개에서 $-\infty < Res \leq 0$, $0 < Res < \infty$ 와 $s = \infty$ 안에 있는 모든 유한 극점으로 만들어진 항을 각각 $\{G\}_+$, $\{G\}_-$ 와 $\{G\}_\infty$ 로 정의하며 $\{G\}_+, \{G\}_- \leq O(s^{-1})$ 이고 $\{G\}_\infty \leq O(s^{-1})$ 이다. 또한 기호 $\langle \rangle$ 는 기대값(expectation)이라고 정의한다.

1. 서 론

최근에 많이 사용되고 있는 제어 시스템 구조는 그림 1과 같은 표준 모델이다(1,2,3).

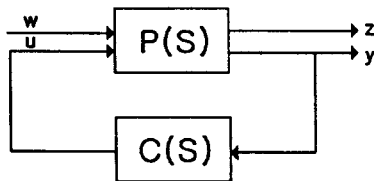


그림 1. 표준 모델을 갖는 제어기 구조

이 모델은 구조의 단순화로 수식의 간략화는 성공하였지만 물리적으로 성격이 판이하게 다른 신호(외란 및 측정 잡음과 기준 입력 신호를 말함)를 하나의 신호 군으로 처리함으로써 너무 추상적인 공식이 제시되었다는 약점이 있다. 실제로 이와 같은 구조로는 기준 입력 추종 문제를 자유롭게 처리할 수 없으므로 만족할만한 응답을 얻기 힘든 경우가 있다. 본 연구에서는 이러한 문제를 개선하기 위해서 외란 및 측정 잡음과 기준 입력을 분리 처

2. 본 론

본 연구에서 제시하고자 하는 구조는 다음과 같다

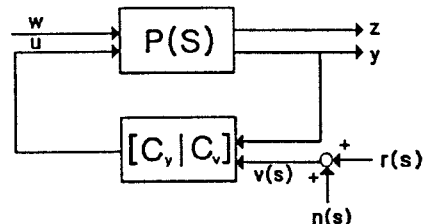


그림 2. 일반화된 2DOF 제어기를 갖는 모델

여기서 그림 1의 구조와 다른 점은 기준 입력 신호를 외부 입력항 $w(s)$ 와 구분해서 처리하고 있다는 것이다. 또한 $G_c(s) = 0$ 으로 놓으면 기존의 모델로 환원되므로 기존 모델의 확장 모델로도 볼 수 있다. 기준 입력 $r(s)$ 는 크기가 랜덤 변수인 형상

확정 함수(shape deterministic function)로 가정한다. 즉,

$$r(s) = [a_1 r_1(s), a_2 r_2(s), \dots, a_q r_q(s)]^T \quad (2.1)$$

이때 계수 a_i 는 $\langle a_i \rangle = 0$, $i=1 \rightarrow q$, $\langle a_i a_j \rangle = a_{ij}$ 의 성질을 갖는다고 가정하자. 여기서는 $a_{ii} = 1$, $a_{ij} = 0$, $i \neq j$ 을 취한다. 이 경우 $r(s)$ 의 파워 스펙트럼 밀도(power spectral density) $G_r(s)$ 는

$$G_r(s) = \langle r(s) r_e(s) \rangle = \langle a_{ij} r_i(s) r_j(s) \rangle \quad (2.2)$$

이다. 위의 그림 2에서 제어기 전달 행렬 $T_c(s)$ 는 2자유도 제어기 구조 즉

$$T_c(s) = [C_y(s) \mid C_v(s)] \quad (2.3)$$

이고 플랜트 모델은

$$\begin{bmatrix} z(s) \\ y(s) \end{bmatrix} = P(s) \begin{bmatrix} w(s) \\ u(s) \end{bmatrix} = \begin{bmatrix} P_{11}(s) & P_{12}(s) \\ P_{21}(s) & P_{22}(s) \end{bmatrix} \begin{bmatrix} w(s) \\ u(s) \end{bmatrix} \quad (2.4)$$

이고 플랜트 입력 $u(s)$ 는

$$u(s) = [C_y(s) \mid C_v(s)] \begin{bmatrix} y(s) \\ -u(s) \end{bmatrix} \quad (2.5)$$

이다. 식(2.4), (2.5)로부터 다음 식을 얻는다.

$$z(s) = T_{zw}(s)w(s) + T_{zv}(s)v(s) \quad (2.6)$$

여기서

$$T_{zw}(s) = P_{11}(s) + P_{12}(s)R_y(s)P_{21}(s) \quad (2.7)$$

$$R_y(s) = (I - C_y(s)P_{22}(s))^{-1}C_y(s) \quad (2.8)$$

$$T_{zv}(s) = P_{12}(s)R_v(s) \quad (2.9)$$

$$R_v(s) = (I - C_y(s)P_{22}(s))^{-1}C_v(s) \quad (2.10)$$

이다. 식(2.8), (2.10)에서 $C(s)$ 를 $R(s)$ 로 표시하면

$$[C_y(s) \mid C_v(s)] = (I + R_y(s)P_{22}(s))^{-1} [R_y(s) \mid R_v(s)] \quad (2.11)$$

이 되는데 (2.8), (2.10), (2.11)식으로부터 $C_y(s)$, $C_v(s)$ 와 $R_y(s)$, $R_v(s)$ 는 1:1 대응 관계가 있음을 알 수 있고 따라서 제어기 $C_y(s)$, $C_v(s)$ 를 구하는 대신 대응되는 $R_y(s)$, $R_v(s)$ 를 구해도 됨을 알 수 있다. 본 연구에서 제시하는 워너-호프 설계는 내부적으로 안정하고 자승형 평가 함수를 최소화하는 제어기를 찾는 것이다. 일반적으로 그림 1에서 제시한 표준 모델의 경우에는 $z(s)$ 의 H_2 노음을 평가 함수로 생각하지만 본 연구에서는 기준 입력을 별도로 고려하므로 평가 함수를 오차항(error)

$$e(s) = z(s) - T(s)r(s) \quad (2.12)$$

의 H_2 노음으로 생각한다. 단 $T(s)$ 는 폐루프면에서 해석적이라고 가정한다. 일반적으로 조정 변수 $\pi(s)$ 가 기준 입력 $r(s)$ 를 추종하는 출력항 $z_1(s)$ 와 기타항 $z_2(s)$ 로 분리되어 $z(s) = [z_1^T(s) \ z_2^T(s)]^T$ 로 표시한다고 하면 합리적인 $T(s)$ 의 값은 $T(s) = [I \ 0]^T$ 일 것이며 이 경우 (2.12)식은

$$e(s) = \begin{bmatrix} z_1(s) - r(s) \\ z_2(s) \end{bmatrix} \quad (2.13)$$

의 형태가 될 것이다. 본 연구에서 사용되는 평가 함수는 식 (2.12)의 오차 항에 대한 H_2 노음값으로 정의되는데 다음과 같다.

$$E = \frac{1}{2\pi j} \int_{-j\infty}^{j\infty} T_H^H Q(s) G_e(s) ds \quad (2.14)$$

여기서 $G_e(s)$ 는 오차 $e(s)$ 의 파워 스펙트럼 밀도이다. 가중치 행렬 $Q(s)$ 는 항상 폐루프면에서 해석적이며, $Q(s) = Q_e(s)$, $Q(j\omega) \geq 0$ 의 조건이 있으므로 $Q(s) = \hat{Q}(s) \cdot \hat{Q}^*(s)$ 의 인수 분해가 가능하고 따라서 (2.14)의 평가 함수는

$$\hat{e}(s) = \hat{Q}(s)z(s) - \hat{Q}(s)T(s)r(s) \quad (2.15)$$

의 H_2 노음값이다. 이때 $\hat{Q}(s)$ 항은 플랜트 $P(s)$ 와 행렬 $T(s)$ 에 흡수될 수 있고 따라서 $\hat{Q}(s)$ 를 생략하여도 일반성을 잃지 않는다. 앞으로 평가 함수는

$$E = \frac{1}{2\pi j} \int_{-j\infty}^{j\infty} T_H G_e(s) ds \quad (2.16)$$

으로 하기로 한다. 이제 식 (2.6), (2.12), (2.16) 과 $v = r + n$ 의 관계로부터 다음 식을 얻는다.

$$E = \frac{1}{2\pi j} \int_{-j\infty}^{j\infty} T_H [T_{zw}G_w T_{zw}^* + (T_{zv} - T) \cdot G_r (T_{zv} - T) + T_{zv}G_n T_{zv}^*] ds \quad (2.17)$$

$$= E_y + E_v \quad (2.18)$$

여기서

$$E_y = \frac{1}{2\pi j} \int_{-j\infty}^{j\infty} T_H^H [T_{zw}G_w T_{zw}^*] ds \quad (2.19)$$

$$E_v = \frac{1}{2\pi j} \int_{-j\infty}^{j\infty} T_H^H [(T_{zv} - T)G_r (T_{zv} - T) + T_{zv}G_n T_{zv}^*] ds \quad (2.20)$$

일반적으로 평가 함수를 유한하게 하고 페루프 시스템을 점근적으로(asymptotically) 안정하게 하는 많은 (R_v, R_y) 이 있다. 따라서 주어진 시스템 $P(s)$ 에 대해서 위의 조건을 만족하는 (R_y, R_v) 을 먼저 찾은 후, 그 중에서 평가 함수 E 를 최소화하

는 (\bar{R}_y, \bar{R}_v) 을 찾는 것이 목적이다. 이를 위해 먼저 주어진 시스템을 안정화 시키는 (R_v, R_y) 을 찾는 문제를 따지기로 하자.

정의 1: 그림 2와 같은 구조의 시스템에 대해서 전체 시스템을 내부적으로 안정하게 하는 제어가 존재한다면 주어진 플랜트에 대해서 실 유리 행렬 (R_y, R_v) 은 허용가능(acceptable)하다고 말한다.

다음의 가정은 그림 2의 플랜트 $P(s)$ 의 안정화 가능성을 보장하는 조건이다.

가정 1: 플랜트 $P(s)$ 는 매우평면에서 잠복 극점(hidden pole)이 없고

$$\Psi_{p_2}^+ = \Psi_p^+ \quad (2.21)$$

이다. 여기서 Ψ_{p_2} 와 Ψ_p 는 $P_{22}(s)$ 와 $P(s)$ 의 특성 분모[6]이며 Ψ^+ 와 Ψ^- 는 각각 매우평면과 개좌평면에 위치한 영점들만을 갖는 다항식이다. 이제,

$$P_{22}(s) = A^{-1}B = B_1A_1^{-1} \quad (2.22)$$

의 좌 및 우 다항식 서로소 쌍을 생각하자. 이 경우 잘 알려진 바와 같이

$$A_1Y_1 = YA \quad (2.23)$$

$$AX + BY = I \quad (2.24)$$

$$X_1A_1 + Y_1B_1 = I \quad (2.25)$$

을 만족하는 다항식 행렬 X_1, Y_1, X, Y 를 항상 찾을 수 있다.

정리 1: 위의 가정이 만족될 때 허용 가능한 (R_y, R_v) 의 형태는 다음과 같다.

$$[R_y | R_v] = A_1[-(Y_1 + KA) | H_1] \quad (2.26)$$

여기서 H_1 과 K 는

$$\det(X_1 - KB) \neq 0 \quad (2.27)$$

을 만족하며 매우평면에서 해석적인 임의의 실 유리 행렬이다. 이때 (2.26)식의 (R_y, R_v) 행렬에 대하여 대응되는 제어기 (C_y, C_v) 행렬은

$$T_c = [C_y | C_v] = (X_1 - KB)^{-1}[-(Y_1 + KA) | H_1] \quad (2.28)$$

이다. (2.7), (2.9), (2.18)식과 (2.26)식의 Youla 제어기의 형태를 보면 평가 함수 E 를 최소화하는 (R_y, R_v) 을 찾는 문제는 각각 평가 함수 E_y 를 최소화하는 R_y 를 찾는 것과 평가 함수 E_v 를 최소화하는 R_v 를 찾는 것과 동가임을 알 수 있는데 이와 같은 분리성은 2자유도 설계의 큰 특징

이다. 정방 행렬 $\Lambda(s)$ 와 $\Omega(s)$ 는 다음의 두 식을 만족하는 위너-호프 스펙트럼 해라고 정의하자

$$A_1 \cdot P_{12} \cdot P_{12} A_1 = \Lambda \cdot \Lambda \quad (2.29)$$

$$A P_{21} G_w P_{21} A = \Omega \Omega \quad (2.30)$$

가정 2: 행렬 $P_{12} \cdot P_{12}$ 와 $P_{21} G_w P_{21}$ 는 full-rank, para-Hermitian이고 유한 허수 축에서 양의 반한정(positive semi-definite)하다. 그리고 행렬 Λ^{-1} 과 Ω^{-1} 는 유한 허수 축에서 해석적이다.

가정 3: $P_{11} G_w P_{11} \leq O(s^{-2})$

가정 4: 식 $T_r(P_{11} G_w P_{11}) - T_r(I \Gamma)$ 은 유한 허수 축에서 해석적이다. 여기서 $\Gamma(s)$ 는 다음과 같다.

$$\Gamma(s) = \Lambda^{-1} A_1 \cdot P_{12} \cdot P_{11} G_w P_{21} A \cdot \Omega^{-1} \quad (2.31)$$

가정 5: $A_1^{-1} Y - \Lambda^{-1} \Gamma \Omega^{-1}$ 은 유한 허수 축에서 해석적이다.

가정 6: 다음 식이 만족된다.

$$(P_{21} G_w P_{21})^{-1} \leq O(s^{-2\nu_1}), (P_{12} \cdot P_{12})^{-1} \leq O(s^{-2\nu_2}) \quad (2.32)$$

$$P_{22}(s) \leq O(s^{-2\nu_3}) \quad (2.33)$$

인 경우 $\nu_0 + \nu_1 + \nu_2 \geq 0$ 이다.

정리 2: 가정 1-6이 만족된다고 할 때 다음의 내용이 성립한다.

1) E_y 값을 유한하게 하는 모든 허용 가능한 R_y 는

$$R_y = -A_1 \Lambda^{-1} (\{ \Lambda A_1^{-1} Y \Omega \}_- + \{ \Gamma \}_+ + Z_y) \Omega^{-1} A \quad (2.34)$$

이며 이때 Z_y 는 $\leq O(s^{-1})$ 이고 매우평면에서 해석적인 임의의 행렬이다.

2) E_v 를 최소화시키는 acceptable한 \bar{R}_v 는

$$\bar{R}_v = -A \Lambda^{-1} (\{ \Lambda A_1^{-1} Y \Omega \}_- + \{ \Gamma \}_+) \Omega^{-1} A \quad (2.35)$$

이며 이 식은 $Z_y = 0$ 일 때의 대응되는 값이다.

3) 식(2.34)의 R_y 를 사용하는 경우, 최적 제어기에 의한 평가 함수를 \bar{E}_y 라고 하면

$$E_y = \bar{E}_y + \frac{1}{2\pi j} \int_{-j\infty}^{j\infty} T_r(Z_y, Z_y) ds \geq \bar{E}_y \quad (2.36)$$

이다.

4) (2.34)식의 제어기를 사용하는 경우

$$R_y(s) \leq O(s^{-\nu_1 - \nu_2 - 1}) \quad (2.37)$$

$$C_y(s) \leq O(s^{-\nu_1 - \nu_2 - 1}) \quad (2.38)$$

이 성립한다.

가정 7 : 행렬 T 는 proper이고 파워 스펙트럼 밀도 $G_r(s)$ 는 다음 식을 만족한다.

$$G_r(s) \leq O(s^{-2}) \quad (2.39)$$

가정 8 : $T, G_n, (G_r + G_n)^{-1}, \Omega_0^{-1}$ 은 유한 허수 축에서 해석적이다. 여기서 Ω_0 는 다음 식을 만족하는 위너-호프 스펙트럼 해라고 정의한다.

$$G_r + G_n = \Omega_0 \Omega_0^* \quad (2.40)$$

가정 9 : $(G_r + G_n)^{-1} \leq O(s^{-2m})$ 이다.

가정 10 : $A_p T G_r T^* A_p^*$ 는 유한 허수 축에서 해석적이다.

정리 3 : 가정 1-10이 만족된다고 가정할 때 다음과 같은 식이 만족된다.

1) E_v 값을 유한하게 하는 모든 허용 가능한 R_v 는

$$R_v = A_1 A^{-1} ((\Gamma_r)_+ + Z_v) \Omega_0^{-1} \quad (2.41)$$

이다. 여기서,

$$\Gamma_r = A^{-1} A_{12} P_{12} T G_r \Omega_0^{-1} \quad (2.42)$$

이며, 이때 Z_v 는 $\leq O(s^{-1})$ 이고 매우 평면에서 해석적인 임의의 행렬이다.

2) E_v 를 최소화시키는 허용 가능한 \tilde{R}_v 는

$$\tilde{R}_v = A_1 A^{-1} ((\Gamma_r)_+) \Omega_0^{-1} \quad (2.43)$$

이며, 이 식은 $Z_v = 0$ 일 때의 대응되는 값이다.

3) 최적 제어기에 대한 평가 함수를 \tilde{E}_v 라고 하면 (2.41)식의 제어기에 대한 평가 함수 값은

$$E_v = \tilde{E}_v + \frac{1}{2\pi j} \int_{-\infty}^{\infty} T_r(Z_v Z_v^*) ds \geq \tilde{E}_v \quad (2.44)$$

이다.

4) (2.41)식의 제어기를 사용하는 경우

$$R_v(s) \leq O(s^{-n-n-1}) \quad (2.45)$$

$$C_v(s) \leq O(s^{-n-n-1}) \quad (2.46)$$

이 성립한다.

3. 결 론

일반적으로 제어 시스템 설계시 많이 사용되는 표준 모델은 수학적인 간략화로 시스템 해석 및 설계의 용이함은 있지만 물리적으로 특성이 다른 기

준 입력 신호와 외란 및 측정 잡음 신호를 하나의 신호로 처리하므로 실제적이지 못하다는 문제점도 지니고 있다. 따라서 본 연구에서는 표준 모델을 통해 수학적인 편리함은 이루되, 기준 입력 신호와 외란 및 측정 잡음 신호를 분리해서 각각 독립적으로 처리하는 2자유도 제어기 $[C_y | C_v]$ 설계 기법을 제시하였다. 여기서 제어기 C_y 는 외란, 측정잡음 및 폐루프 시스템의 내부 안정도와 관련된 제어기이고 제어기 C_v 는 기준 입력 추종을 위한 제어기이다. 또한 정리 2,3의 (2.34), (2.41)식은 전체 시스템을 점근적으로 안정하게 하고 자승 형태의 평가 함수를 최소화시키는 최적 제어기로 완전하게 일반적인 구조가 제시되었다. 여기서 Z_y, Z_v 는 여러 설계 사양들을 고려하는 준최적 제어기 설계에서 중요한 역할을 담당하게 된다.

(참 고 문 헌)

- [1] Boyd, S.V., Balakrishnan, and C.H. Barratt, N. M. Khraishi, X. Li, D.G. Meyer, S.A. Norman, "A New CAD Method and Associated Architectures for Linear Controllers," IEEE Trans. on auto. control, Vol. 33, PP. 268-283, 1988.
- [2] Park, K., and Bongiorno, J.J., "A general theory for the Wiener-Hopf design of multivariable control systems", IEEE Trans. on auto. control, Vol. 34, PP. 619-626, 1989.
- [3] Doyle, J.C., Glover, K., Khargonekar, P.P., and Francis, B.A., "State space solutions to standard H_2 and H_∞ control problems", IEEE Trans. on auto. control, Vol. 34, PP. 831-847, 1989.
- [4] Bongiorno, J.J., and Youla, D.C., "On the design of two-degree-of-freedom multivariable feedback control system." weber research institute, Polytechnic university, Farmingdale, New York, report PP. 1452-86, 1986.
- [5] Youla, D. C. and Bongiorno, J. J., "A Feedback theory of two-degree-of-freedom optimal Wiener-Hopf design", IEEE Trans. on auto. control, Vol. 30, PP. 652-665, 1985.
- [6] Youla, D.C., Jabr, H., and Bongiorno, J. J., "Modern Wiener-Hopf design of optimal controllers part II: the multivariable case", IEEE Trans. on auto. control, Vol. 21, PP. 319-338, 1976.